

# Generalized Iterative Closest Point

Mündliche Prüfung in der Vorlesung Autonome Roboter

bei Prof. Dr.-Ing. Michael Blaich

16.07.2024

Johannes Brandenburger, Moritz Kaltenstadler, Fabian Klimpel

# Agenda

1. Einführung
2. Theorie
  1. Mathematische Grundlagen
  2. Standard-ICP
  3. Point-to-Plane-ICP
  4. Generalized-ICP
  5. Ergebnisse von Segal et al.
3. Demo: Eigene Implementierung in Python
4. Implementierung in ROS - Versuch
  1. Versuchsaufbau
  2. Parameterisierung
  3. Implementierung ICP & GICP
  4. Problem
  5. Zeitmessung
  6. Maps
5. Fazit
6. (Bild-)Quellen

# Einführung

- ICP: **Iterative Closest Point**
  - Scan-Matching-Algorithmus
  - Schätzung der Transformation zwischen zwei Punktwolken
  - Anwendung in der Lokalisierung mit z.B. LiDAR-Sensoren
- GICP: **Generalized-ICP**
  - veröffentlicht von Segal, Haehnel & Thrun (2009)
  - Stanford University
  - Ziel: ICP-Algorithmus verbessern und verallgemeinern
  - Standard-ICP & point-to-plane in **generelles Framework** überführen
  - **probabilistische** Betrachtung
  - Nutzung **Oberflächenstruktur** aus beiden Scans (Kovarianzmatrizen) → **plane-to-plane**



# Theorie - Mathematische Grundlagen

## Kovarianzmatrix

- beschreibt die Streuung von Zufallsvariablen
- für Punkte in Punktwolken: Verteilung der Punkte in der Umgebung

## Maximum Likelihood Estimation (MLE)

- Schätzverfahren für Parameter von Wahrscheinlichkeitsverteilungen
- der Parameter wird ausgewählt, der die beobachteten Daten am wahrscheinlichsten macht
- oft verwendet um:  $\arg \max_p \dots / \arg \min_p \dots$  zu finden

# Theorie - Standard-ICP

- **Iterative Closest Point** (ICP) ist ein Algorithmus, um die Transformation zwischen zwei Punktwolken zu schätzen
- vergleicht korrespondierende Punkte in beiden Wolken
- minimiert die quadratischen Abstände korrespondierender Punkte

```
1  $T \leftarrow T_0$ 
2 while not converged do
3   for  $i \leftarrow 1$  to  $N$  do
4      $m_i \leftarrow \text{FindClosestPointInA}(T \cdot b_i)$ 
5     if  $\|m_i - b_i\| \leq d_{\max}$  then
6        $w_i \leftarrow 1$ 
7     else
8        $w_i \leftarrow 0$ 
9     end
10  end
11   $T \leftarrow \arg \min_T \left\{ \sum_i w_i (\|T \cdot b_i - m_i\|)^2 \right\}$ 
12 end
```



Abbildung 1: Standard-ICP (Igor Bogoslavskyi, 2021)

## Theorie - Point-to-Plane-ICP

- **Point to Plane ICP** ist eine Erweiterung des ICP Algorithmus
- vergleicht korrespondierende Punkte in einer Wolke zu Ebenen in der anderen
- Ebenen wird durch Punkt und Normalenvektor definiert

$$T \leftarrow \arg \min_T \left\{ \sum_i ((T \cdot b_i - m_i) \cdot \mathbf{n}_i)^2 \right\}$$



Abbildung 2: Point-to-Plane-ICP (Kok-Lim Low, 2004)

# Theorie - Standard-ICP, Point-to-Plane, Generalized-ICP

- **Point-to-Point**
  - Standard-ICP
  - vergleicht Punkt mit Punkt
- **Point-to-Plane**
  - vergleicht Punkt mit Ebene durch Normalenvektor
- **Generalized-ICP**
  - quasi „Plane-to-Plane“
  - vergleicht die Kovarianzmatrizen der nächsten Punkte → probabilistisch
  - wenn in Ebene → Kovarianzmatrix ist „flach“

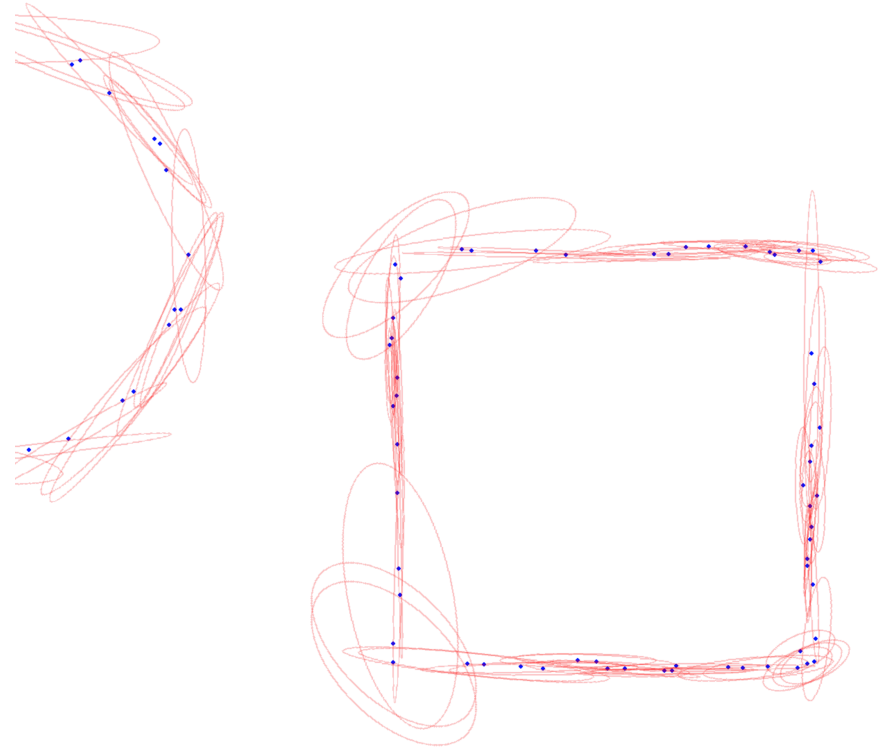


Abbildung 3: Kovarianzmatrizen (eigene Darstellung)

# Theorie - GICP-Algorithmus

```
1  $T \leftarrow T_0$ 
2 while not converged do
3   for  $i \leftarrow 1$  to  $N$  do
4      $m_i \leftarrow \text{FindClosestPointInA}(T \cdot b_i)$ 
5      $d_i^{(T)} \leftarrow b_i - T \cdot m_i$            // Residuum / Abstand
6     if  $\| d_i^{(T)} \| \leq d_{\max}$  then
7        $C_i^A \leftarrow \text{computeCovarianceMatrix}(T \cdot b_i)$ 
8        $C_i^B \leftarrow \text{computeCovarianceMatrix}(m_i)$ 
9     else
10       $C_i^A \leftarrow 0; \quad C_i^B \leftarrow 0$ 
11    end
12  end
13   $T \leftarrow \arg \min_T \left\{ \sum_i d_i^{(T)T} (C_i^B + T C_i^A T^T)^{-1} d_i^{(T)} \right\}$  // Maximum Likelihood Estimation
14 end
```



# Theorie - GICP-Algorithmus

## Variationen für Kovarianzmatrizen

$C_i^A \leftarrow \text{computeCovarianceMatrix}(T \cdot b_i)$   
 $C_i^B \leftarrow \text{computeCovarianceMatrix}(m_i)$

- für **Standard-ICP** (Point-to-Point):
  - $C_i^A \leftarrow 0$
  - $C_i^B \leftarrow 1$  → keine Oberflächenstruktur berücksichtigt (einfache Gewichtung)
- für **Point-to-Plane**:
  - $C_i^A \leftarrow 0$
  - $C_i^B \leftarrow P_i^{-1}$  →  $P_i$  ist die Projektionsmatrix auf die Ebene (beinhaltet Normalenvektor)
- für **Plane-to-Plane** (im Paper vorgeschlagene Methode):
  - `computeCovarianceMatrix` berechnet Kovarianzmatrix unter Betrachtung der nächsten 20 Punkte
    - verwendet **PCA** (Principal Component Analysis/Hauptkomponentenanalyse)

```

1  $T \leftarrow T_0$ 
2 while not converged do
3   for  $i \leftarrow 1$  to  $N$  do
4      $m_i \leftarrow \text{FindClosestPointInA}(T \cdot b_i)$ 
5      $d_i^{(T)} \leftarrow b_i - T \cdot m_i$  // Residuum / Abstand
6     if  $\|d_i^{(T)}\| \leq d_{\max}$  then
7        $C_i^A \leftarrow \text{computeCovarianceMatrix}(T \cdot b_i)$ 
8        $C_i^B \leftarrow \text{computeCovarianceMatrix}(m_i)$ 
9     else
10       $C_i^A \leftarrow 0$ ;  $C_i^B \leftarrow 0$ 
11    end
12  end
13   $T \leftarrow \arg \min_T \left\{ \sum_i d_i^{(T)^T} (C_i^B + T C_i^A T^T)^{-1} d_i^{(T)} \right\}$  // Maximum Likelihood Estimation
14 end
    
```



Abbildung 4: Plane-to-Plane (Segal, Hähnel, & Thrun, 2009)

# Theorie - GICP-Algorithmus

## Ergebnisse von Segal, Hähnel, & Thrun

- GICP **genauer** bei simulierten und realen Daten
- immer noch relativ schnell und einfach
- Nutzen von Oberflächenstruktur **minimiert Einfluss von falschen Korrespondenzen**
- Parameter-Wahl für  $d_{\max}$  nicht mehr so kritisch → leichter einsetzbar in **unterschiedlichen Szenarien**



Abbildung 5: Durchschnittsfehler als Funktion von  $d_{\max}$  (Segal, Hähnel, & Thrun, 2009)

# Demo: Eigene Implementierung in Python

- Paper sehr mathematisch
- zwar Implementierungen auf GitHub, aber nicht wirklich lesbar
- daher eigene Implementierung - vor allem für Verständnis
- eigene **2D-GICP-Funktion**
  - Input: Punktwolken  $A$  und  $B$ , ...
  - Output: Transformationsmatrix  $T$ , ...
- Version 1:
  - Visualisierung mit generierten Input-Wolken
  - iterativ durch die Steps klicken
- Version 2:
  - Simulation eines Roboters mit LiDAR-Sensor
  - Live-Berechnung der Transformation + Visualisierung

→ *LIVE DEMO*

→ *CODE OVERVIEW*

# Implementierung in ROS - Versuch

## Versuchsaufbau

- Vorbedingungen:
  - Bag File
  - Skript für Nodes
  - Yaml files als configuration
- Durchführung:
  - fünf Durchgänge mit Standardparameterisierung (ICP & GICP)
  - drei unterschiedliche Maps
  - unterschiedliche Parameterisierung
- Auswertung:
  - Bag Files mit Topics
  - Python-Skript zur Auswertung
  - Bokeh für Visualisierung

# Implementierung in ROS - Versuch

## Parameterisierung

```
//name des odom topics
this->declare_parameter("odom_topic", "");
//name des icp topics
this->declare_parameter("gicp_result_topic", "");
//name des zeitmessung topics
this->declare_parameter("alignment_time_topic", "");
//parameter ob gicp oder icp verwendet wird
this->declare_parameter("gicp", false);
//ob manuelle transformation gepublished wird
this->declare_parameter("publish_tf", false);

//icp parameter
this->declare_parameter("max_correspondence_distance", 0.0);
this->declare_parameter("maximum_iterations", 0);
this->declare_parameter("transformation_epsilon", 0.0);
this->declare_parameter("euclidean_fitness_epsilon", 0.0);
```

# Implementierung in ROS - Versuch

## Parameterisierung über YAML file

```
gicp_lio:
  ros__parameters:
    gicp: True
    publish_tf: False
    alignment_time_topic: "galignment_time"
    odom_topic: "glidar_odom"
    gicp_result_topic: "glidar_odom_eval"
    max_correspondence_distance: 0.2
    maximum_iterations: 100
    transformation_epsilon: 0.000000001
    euclidean_fitness_epsilon: 0.00001
```

```
gicp_lio:
  ros__parameters:
    gicp: False
    publish_tf: False
    alignment_time_topic: "alignment_time"
    odom_topic: "lidar_odom"
    gicp_result_topic: "lidar_odom_eval"
    max_correspondence_distance: 0.2
    maximum_iterations: 100
    transformation_epsilon: 0.000000001
    euclidean_fitness_epsilon: 0.00001
```

# Implementierung in ROS - Versuch

## Implementierung ICP & GICP

- ICP:

```
pcl::IterativeClosestPoint<pcl::PointXYZ, pcl::PointXYZ> icp;  
icp.setInputSource(src);  
icp.setInputTarget(tgt);  
pcl::PointCloud<pcl::PointXYZ>::Ptr output(new pcl::PointCloud<pcl::PointXYZ>);  
icp.align(*output);
```

- GICP:

```
pcl::GeneralizedIterativeClosestPoint<pcl::PointXYZ, pcl::PointXYZ> gicp;  
gicp.setInputSource(src);  
gicp.setInputTarget(tgt);  
pcl::PointCloud<pcl::PointXYZ>::Ptr output(new pcl::PointCloud<pcl::PointXYZ>);  
gicp.align(*output);
```

# Implementierung in ROS

## Problem

```
// reduce tick speed in topic_callback  
tick++;  
if (tick % 3 != 0) {  
    return;  
}
```

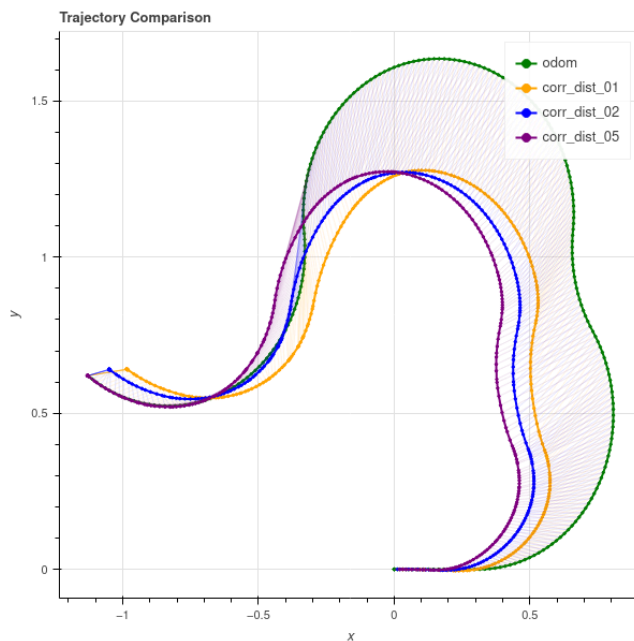


Abbildung 6: Trajectory plot with higher tick speed

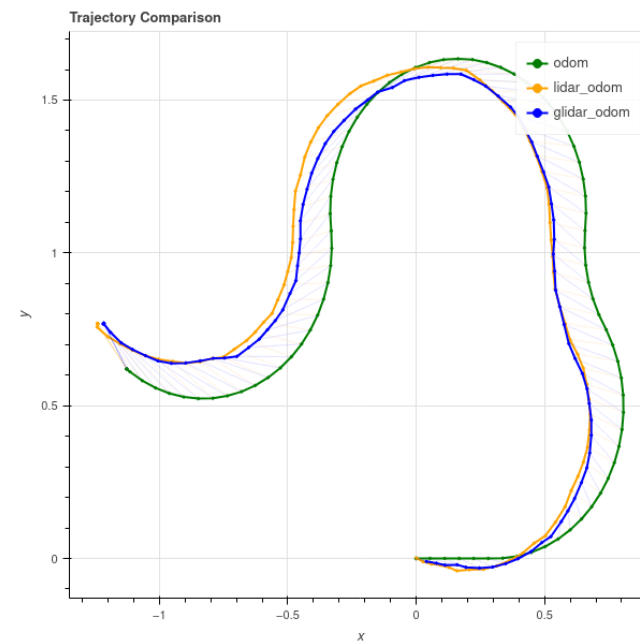


Abbildung 7: Trajectory plot with lower tick speed



# Implementierung in ROS - Versuch

## Zeitmessung

```
auto start = std::chrono::high_resolution_clock::now();
icp.align(*output);
transformation = icp.getFinalTransformation();
auto finish = std::chrono::high_resolution_clock::now();

std::chrono::duration<double> elapsed = finish - start;
std_msgs::msg::Float64 time_msg;
time_msg.data = elapsed.count();
time_publisher_ -> publish(time_msg);
```

# Implementierung in ROS - Versuch

## Turtlebot3 World

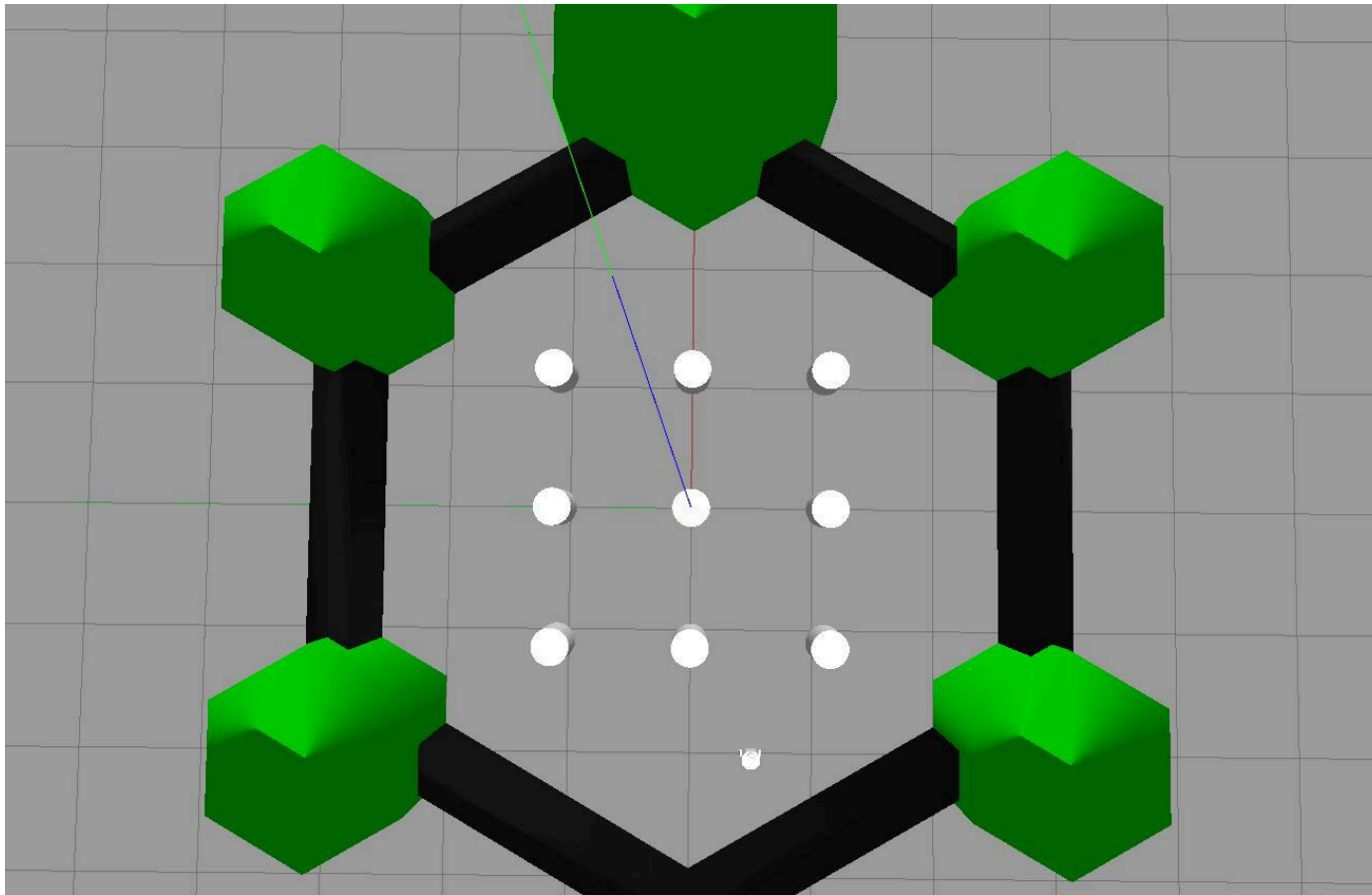


Abbildung 8: Screenshot Gazebo

# Implementierung in ROS - Versuch

## Turtlebot3 ICP World

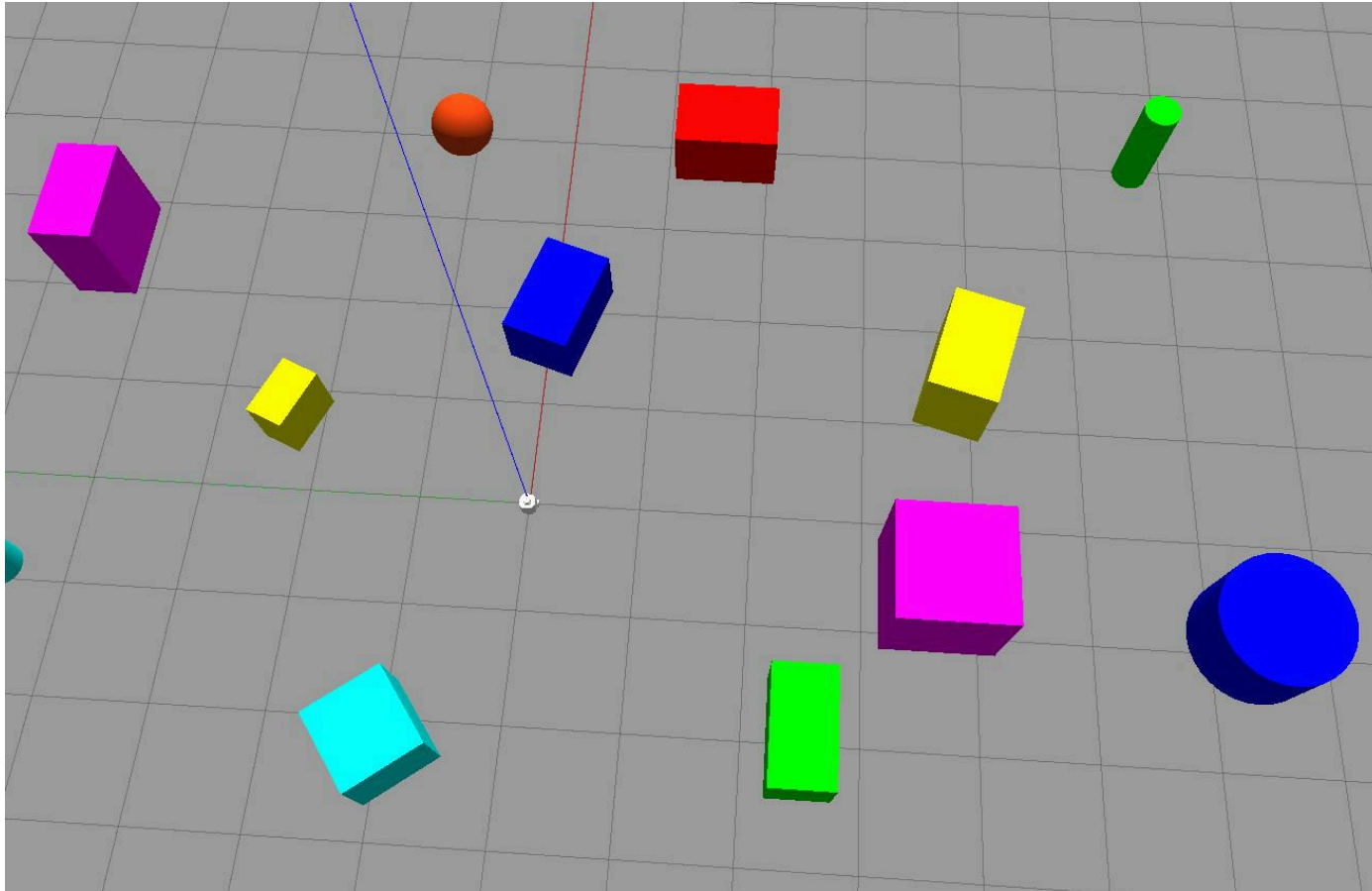


Abbildung 9: Screenshot Gazebo

# Implementierung in ROS - Versuch

## Turtlebot3 World

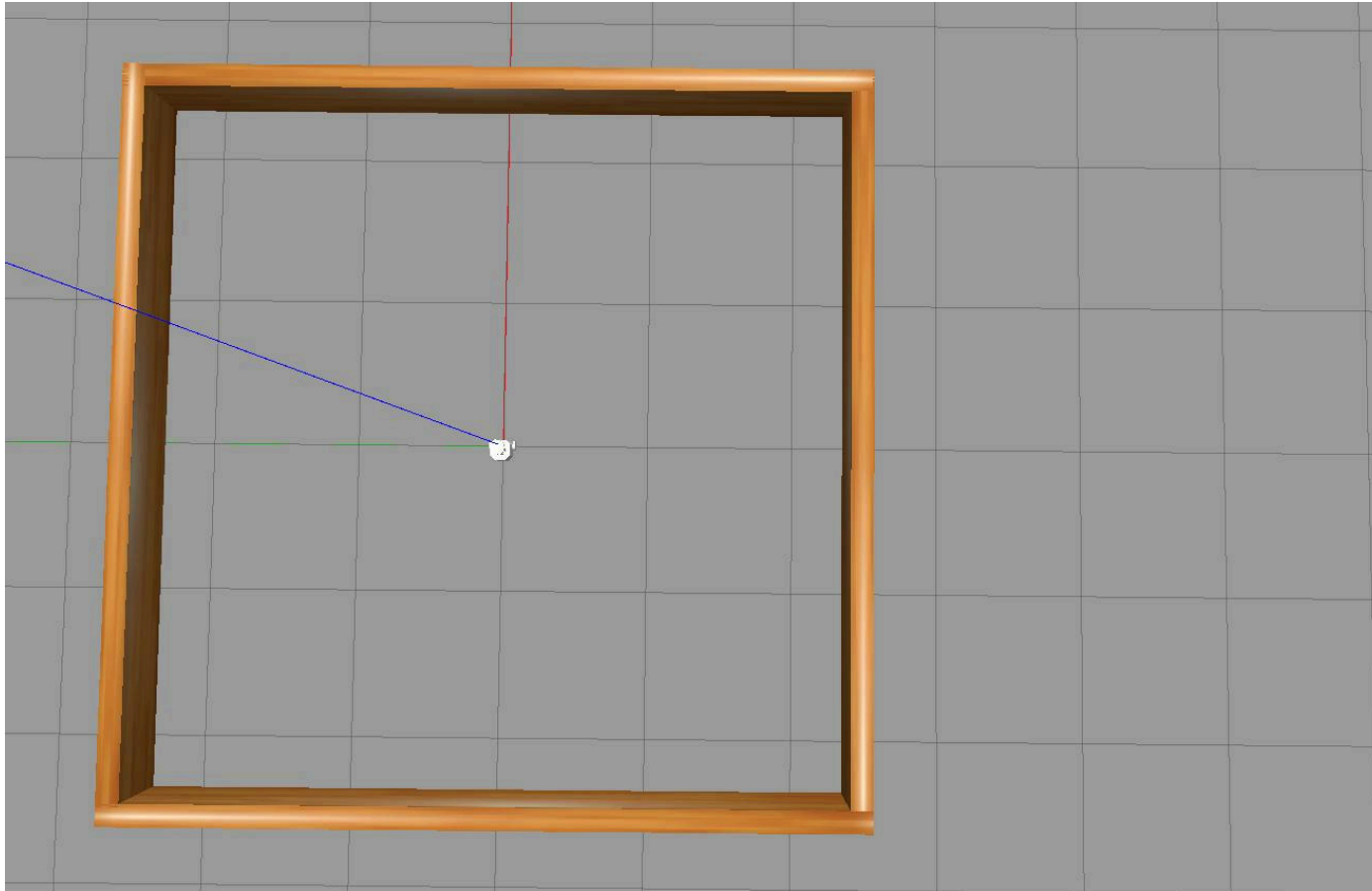


Abbildung 10: Screenshot Gazebo

# Fazit

## (Bild-)Quellen

Igor Bogoslavskyi. (2021). <https://nbviewer.org/github/niosus/notebooks/blob/master/icp.ipynb>

Kok-Lim Low. (2004). *Linear Least-Squares Optimization for Point-to-Plane ICP Surface Registration*.  
[https://www.comp.nus.edu.sg/~lowkl/publications/lowk\\_point-to-plane\\_icp\\_techrep.pdf](https://www.comp.nus.edu.sg/~lowkl/publications/lowk_point-to-plane_icp_techrep.pdf)

Segal, A. V., Hähnel, D., & Thrun, S. (2009). Generalized-ICP. *Robotics: Science and Systems*. <https://api.semanticscholar.org/CorpusID:231748613>